

1. もとがき

交通量観測の一手段として、英國方式とも称される走行車中調査という方法のあることは周知のことである。これは J.G.Wardrop と G.Charlesworth¹⁾ が提案したもので、一見簡便なようであるが、調査時に観測車を調査方向とその反対方向に同時に走行させねばならぬという手数が必要である。ところで、この必要性は、調査時の時間帯や調査路線の性格あるいは調査区間の地理的位置によって、観測車の走行車線とその対向車線との平均交通量に有意な差がある場合には無視できないことは当然であるがしかし、その差が無視できる程度のものであればこの方法の原理からして、観測車の速度が常に一定という限りにおいては一方方向の観測車で対向車線の平均交通量と平均走行速度とか推計できることになると著者は考えている。このような観点から、著者が約 25 年にわたって国道 10 号線の郊外線定期バスを利用して得た観測資料を整理検討してみたところ、観測方法が極めてうつむきものであるにも拘らず、上記の考え方の妥当性がかなり高い精度で確かめられたので本文で報告する次第である。

2. 走行車中観測のための基礎理論

図-1 で、観測せんとする車線の平均交通量を $T = \frac{1}{T_m} \bar{n}_m$ (ただし \bar{n}_m は単位時間に観測される平均速度 \bar{n}_m の車両台数) として、 T_0 を観測車 A が測定した単位時間当たりの対向車両数、 \bar{n}_A を観測車 A が観測区間に内で追越した台数、 \bar{n}_B を観測車 A が追越された台数、 $\bar{t}_A = \frac{\bar{n}_A}{\bar{n}_m}$ と T を T 台の車の平均走行時間、 $t_A = l/v_A$ を B 車の走行時間、 $t_B = l/v_B$ を A 車の走行時間とする。 $T_0 = T(t_A + \bar{t})$ --- (a), $\bar{n}_A - \bar{n}_B = T(t_B - \bar{t})$ --- (b) が成立するので、 $T = [T_0 + (\bar{n}_A - \bar{n}_B)] / (t_A + t_B)$ --- (1), と $\bar{t} = t_B - (\bar{n}_A - \bar{n}_B) / T$ --- (2) が求められる。なお、Wardrop はここで、 $V_m = l / \bar{t}$ --- (3) を空間平均速度と定義している。これに対して、もし往復車線の交通密度で等しく、空間平均速度も等しいとして、さうに観測車の速度が常に一定 ($v_A = V_m$) という条件が適合される場合には $t_A = t_B$ となるので、式(1)は $T = [T_0 + (\bar{n}_A - \bar{n}_B)] / 2t_A$ --- (4) となり、結局一方方向だけの走行観測で対向車線の交通量 T と平均走行速度 V_m が推計できることになる。

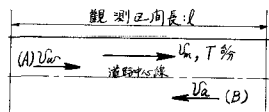


図-1

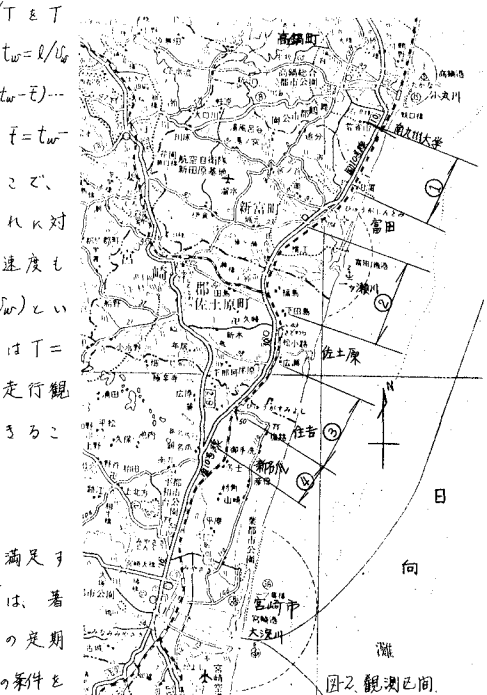


図-2 観測区間

3. 観測方法

実測に当って問題となることは、上述の仮定条件を満足する路線と調査時間帯との選定である。この点については、著者が毎週金曜日に利用する国道 10 号線の宮崎～高鍋間の定期バス路線の中、図-2 に示した区間に予備調査の結果かなりその条件を満足していることが確かめられたので、この区間に毎週金曜日午後 4 時半から深夜 1 時半まで定期的にバスを利用することにして路線を毎月から測定し開始した。観測

の時間帯は高鍋から宮崎への帰路で、金旺日午後0時40分から1時30分までの間である。実際の観測区间は図-2に示したように、途中の市街地を除く3つない4つ区间とした。観測対象の交通流は上述のように帰路であるため宮崎市方面から高鍋町方面に向うものとなる。式(4)の下、前および後の測定に当たっては、バス内から1人で測定記録しきれはならぬので、車種別による標準車への換算係数を①軽4輪以上マイクロバス程度まで一括して1.0、②大型バストラクを2.0、③自動三輪を0.5とした。この程度の分類記録なら、 T_0 を総算し、 \bar{T}_0 などを正記号で記録すれば1人で観測が可能である。

1. 観測結果の整理と考察

図-3は著者の測定データと高鍋町にみる10号線常時観測実ににおける日交通量との経年変動の対応関係を示したものである。これによると、観測方法と被検条件の粗雑さにも拘らず、かなり良好な対応関係が認められるようである。図で、65年7月における著者の計算値と常時観測実交通量との対応不一致は、著者の計算値が宮崎市→高鍋の交通流について求められてもうてあるのに対し、常時観測実交通量には最近の異常にほどの宮崎方面への休日における観光交通が含まれていることによ起因するものと考えられる。

図-4(a), (b)は T_0 (台/分)と \bar{T} (台/分)との比の値の分散の程度を示したものである。ただし、(a)は図-2の観測区间(2)において日本に適用した測定した資料によったものである。これより、著者の方法による (T_0/\bar{T}) と英國方式による (\bar{T}/T_0) 平均値の差の検定を t -分布を用いて計算してみると、両者の差には有意性のないことが確かめられている。

図-5は T_0 (台/分)が常時観測実交通量に占める割合を示したものである。これによると、 (T_0/\bar{T}) の平均値は、観測区间が宮崎市に近づくほど若干高くなっているようであるが、この傾向の有意性を t -分布を用いて検定してみると、確率 $\alpha=0.05$ での有意性は認められなかった。しかし、 $\alpha=0.02$ (住吉～新名爪と佐土原～住吉)ならば $\chi^2=0.3$ (新名爪～佐土原と佐土原～住吉)では有意性のあることが確かめられている。

5. むすび

この研究で、(1)走行速度が一定なら、観測の時間帯と区間をいかんにあって、特別に観測車を走行せねばくとも一方向観測のせんよりて英國方式に劣らない精度の走行軸調査が可能である。(2)国道10号線の新名爪～高鍋間における午後1時前後の5分間交通量は高鍋常時観測実交通量の約3.0%とみてよい、ということが確認された。

参考文献

- J.G.Wardrop & G.Charlesworth: A Method of Estimating Speed and Flow of Traffic from a Moving Vehicle, Proc. of Inst. of C.E., Part II, 3, 1954, p.198-211.
- 服部、松義: 宮崎市の自動車交通特性に関する研究、宮崎大学工学部土木工学科卒業論文、昭和45年2月。

図-3 (a)

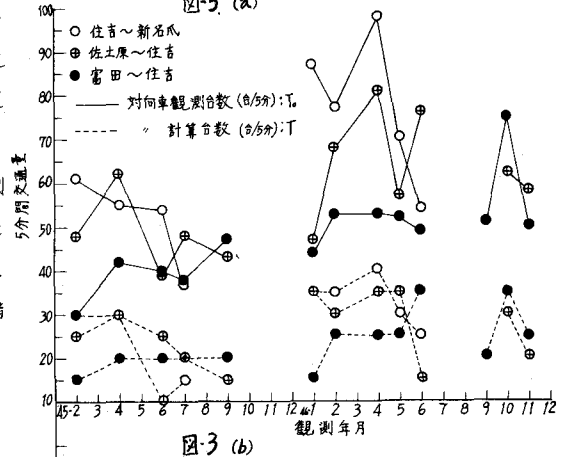


図-3 (b)

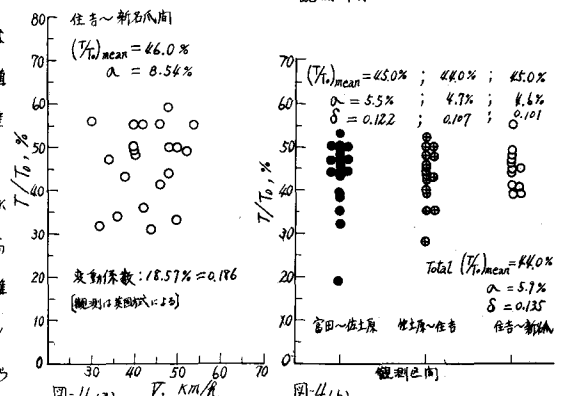
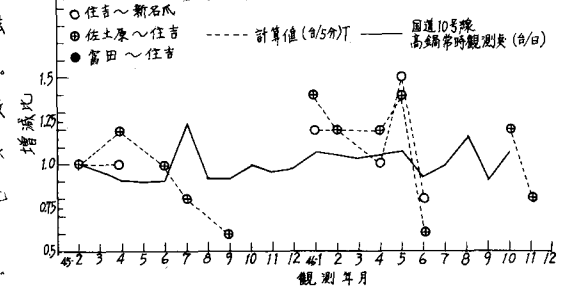


図-4(a)

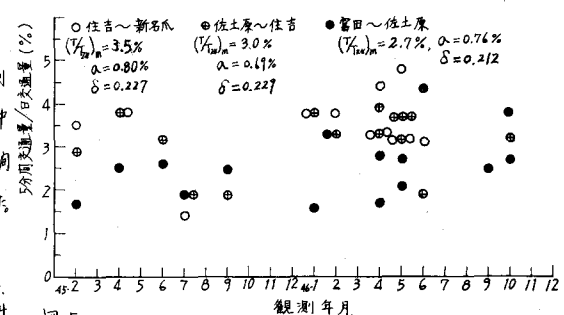


図-4(b)